



な水平応力を測定した。その後、振動台を駆動し、供試体に振動数3Hzで水平震度 $k_h$ が0.1の加速度を30秒間与えた後、振動台を停止し、供試体の沈下量を測定した。さらに $k_h=0.2, 0.3, 0.4$ にして同様の実験を行った。実験中には振動台の加速度、供試体に生じる繰返し水平応力、せん断変位振幅がそれぞれの変換器で測定され、すべてペン書きオシログラフに記録された。

飽和砂の実験はまず、ゴムスリーブ内にあらかじめ脱気水を満しておき、その中に湿潤状態の砂を砂粒子間に気泡が入らないように注意して少量ずつ流し込んで2層に分けて詰め、乾燥砂の場合と同様に各層を締め固めて密詰め状態の飽和砂供試体を作製した。

次に、振動台を駆動し、排水バルブを閉じた状態で供試体に所要の加速度を与えて液状化実験を行った。実験中には乾燥砂の実験での測定量の外に間隙水圧が供試体底面の中央部で測定された。

**4. 結果および考察 (1) 乾燥砂の地震時土圧係数** 図-2は実験記録の一例 (Test-5) を示す。測点(1)、(2)の水平応力 $\sigma'_x$ は振動方向すなわち、せん断方向の水平応力を表し、測点(3)、(4)の $\sigma'_y$ はせん断方向と直交する方向の水平応力を表す。記録からわかるように、各測点の $\sigma'_x$ はせん断応力の繰返し回数 $n$ が小さい間に急増し、その後は漸増するか一定となる。なお、この実験では測点(3)の $\sigma'_x$ の波形には測点(4)の $\sigma'_x$ の波形に見られる倍振動は生じていないが、ほとんどの実験では、せん断方向に直交する方向の測点(3)、(4)の $\sigma'_x$ の波形には倍振動が生じた。また、測点(1)の $\sigma'_x$ の値が波の山の値 (最大値) となる時には測点(2)の $\sigma'_x$ の値は谷の値 (最小値) となる。以下の実験結果には、主にこのTest-5の結果を示した。

図-3は実験結果を式(1)で与えられる地震時土圧係数 $C_o$ の最大値および最小値の $n$ に伴う変化として各 $k_h$ 毎に示したものである。 $\sigma'_x$ は鉛直応力を表す。

$$C_o = \sigma'_x / \sigma'_z \quad (1)$$

図中の $\theta=0^\circ$ 、 $\theta=90^\circ$ はそれぞれ水平応力がせん断方向およびそれと直交する方向で測定されたことを表す。

$C_o(\theta=0^\circ)$ はせん断変形が生じている方向の水平応力から求められた土圧係数であるが、著者らの地震時土圧の実験結果<sup>2)</sup>を参考にすると、図-4に示す程度のせん断ひずみを生じている砂層はほぼ主動状態にあると考えられるので、この土圧係数は物部・岡部式の地震時主動土圧係数に相当するものと考えられる。それに対して $C_o(\theta=90^\circ)$ はその方向の変形はないので、これは地震時土圧係数となる。

図-4、5はそれぞれ供試体のせん断ひずみ両振幅 $\gamma_D$ の $n$ に伴う変化、 $n=90$ 回の時の $\gamma_D$ 、体積圧縮率 $v$ と $k_h$ の関係を示す。図-3、4、5から $n=10-15$ 回の間では砂層のせん断変形量が大きく、そのために水平応力は増大するが、 $n$ が増加するにしたがって砂層が次第に密になるために、そのせん断変形量が小さくなり、したがって、水平応力の $n$ に伴う増加の割合が小さくなる。なお、Youd and Craven<sup>3)</sup>のノルウェー型の単純せん断試験機を用いた実験でも乾燥砂の $C_o$ は $n$ の小さい間に著しく増加するという結果が得られている。

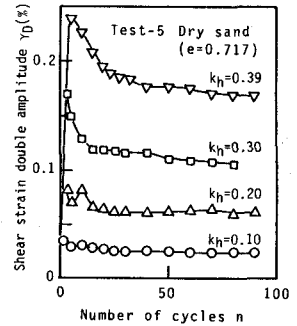


図-4  $\gamma_D$ の $n$ に伴う変化 (乾燥砂)

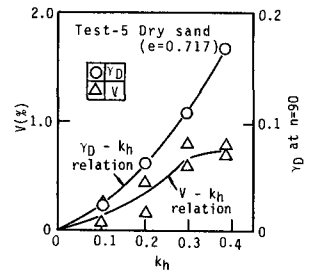


図-5  $n=90$ 回の時の $\gamma_D$ と $v$  (乾燥砂)

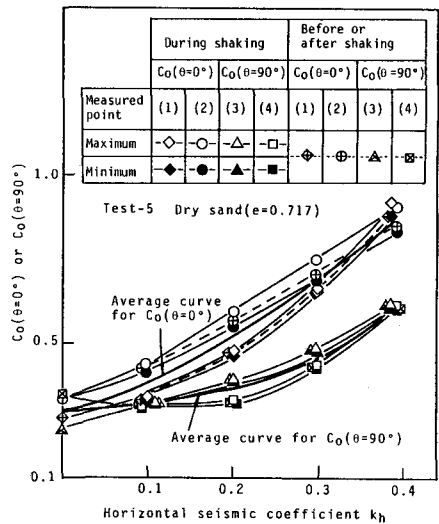


図-6  $C_o(\theta=0^\circ)$ 、 $C_o(\theta=90^\circ)$ と $k_h$ の関係 (乾燥砂)

図-6はn=90回の時の $C_c(\theta=0^\circ)$ 、 $C_c(\theta=90^\circ)$ の最大値および最小値と $k_n$ の関係を示す。図中の記号は図-3のものと同ようである。白ぬきの記号に(+)が入ったものは供試体が作製された時および振動が停止された時の静止土圧係数 $K_0$ 値を表す。図-6からわかるように $C_c$ の最大値、最小値および繰返しせん断後の $K_0$ 値は震度の増加に伴って増加し、また、測点測点(1)、(2)の $C_c(\theta=0^\circ)$ 値は測点(3)、(4)の $C_c(\theta=90^\circ)$ 値よりも大きい。

図-7は図-6中の太線で示す $C_c$ と $k_n$ の平均値曲線を示す。この図から $k_n=0.4$ までの範囲においては $C_c(\theta=0^\circ)$ 値は $C_c(\theta=90^\circ)$ 値の1.2-1.5倍であることがわかる。また、 $C_c(\theta=0^\circ)$ 値は物部・岡部式の地震時主働土圧係数に比べて大きくなっているが、この原因は振動中に砂の内部摩擦角 $\phi'$ が減少するためである。物部・岡部の地震時主働土圧係数は三軸試験から得られた豊浦砂( $e=0.72$ 場合)の $\phi'=46^\circ$ に対して求められた。なお、供試体が作製された時の初期の $K_0=0.30$ を、下記のJakyの式に代入して得られた $\phi'$ は $44.3^\circ$ と求まった。

$$K_0 = 1 - \sin \phi' \quad (2)$$

図-8は図-7の $C_c-k_n$ 曲線を用いてそれぞれの震度の繰返しせん断後に供試体に生じた水平応力から初期の水平応力を差し引いて得られた水平応力の増加量 $\Delta\sigma'_r$ と $k_n$ の関係を示す。同図にはTest-3の結果も示す。これより $\Delta\sigma'_r$ は $k_n$ にほぼ正比例すると見做し、両者の関係として $\Delta\sigma'_r(\theta=0^\circ)=53.9k_n$ 、 $\Delta\sigma'_r(\theta=90^\circ)=24.5k_n$ が得られ、 $k_n$ による $\Delta\sigma'_r(\theta=0^\circ)$ の増加は $\Delta\sigma'_r(\theta=90^\circ)$ のその約2倍となることがわかった。この式の応力の単位はkPaである。

この結果を用い、さらに先の研究<sup>1)</sup>と同様に供試体の円周面にはせん断応力は生じないと仮定すると、繰返しせん断時に供試体に生じる主応力は次式で示される。

$$\begin{aligned} \sigma'_1 &= [(1-K_0-53.9k_n/\sigma'_z)\sigma'_z + \tau^2] / (1-K_0-53.9k_n/\sigma'_z) \cdot \sigma'_z \\ \sigma'_2 &= (K_0+24.5k_n/\sigma'_z) \cdot \sigma'_z, \quad \sigma'_3 = (K_0+53.9k_n/\sigma'_z) \cdot \sigma'_z \end{aligned} \quad (3)$$

式(4)を用いて主応力比で定義した地震時土圧係数 $C'_c$ を求めた。その結果は図-7(点線)に示す。せん断変形が生じない方向の $C'_c(\theta=90^\circ)$ が地震時土圧係数に相当すると考えられる。

$$C'_c(\theta=0^\circ) = \sigma'_3 / \sigma'_1, \quad C'_c(\theta=90^\circ) = \sigma'_2 / \sigma'_1 \quad (4)$$

図-9は図-7の $C'_c(\theta=90^\circ)$ 値をJakyの式に代入して得られた $\phi'$ と $k_n$ の関係を示す。 $k_n=0.4$ の値を除くと、 $\phi'(\theta=90^\circ)$ 値は $k_n$ が0.1増加する毎に2.5度減少することがわかる。これと同じ結果は著者らの地震時土圧の実験<sup>2)</sup>においても、すでに得ており、その点でも興味のある結果である。

### (2) 液状化過程の地震時土圧係数

図-10は飽和砂供試体の実験記録の一例(Test-19)を示す。この実験は $k_n=0.23$ で行われ、 $n_c=37$ 回の時に供試体は液状化した。 $n_c$ は液状化を生じるまでの繰返し回数である。記録からわかるように、この実験では密詰め砂( $Dr=77.1\%$ )が用いられたので、液状化時の水平応力 $\sigma_r$ はCyclic mobilityの影響を受けて、その振幅はかなり大きくなっている。

図-11はTest-19の実験から得られた $C_c$ 値のnに伴う変化を示す。同図には間隙水圧の上昇曲線も一緒に示されている。図からわかるように、飽和砂においても乾燥砂の場合と同様に $C_c(\theta=0^\circ)$ 値は $C_c(\theta=90^\circ)$

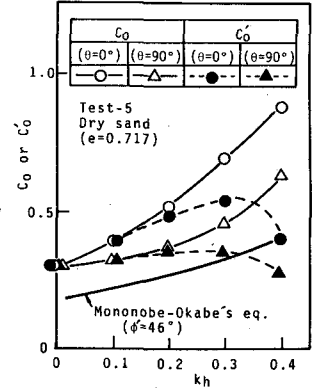


図-7  $C_c$ と $C'_c$ の比較 (乾燥砂)

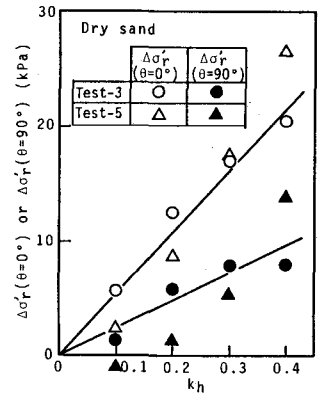


図-8 震度に伴う水平応力の増加量 (乾燥砂)

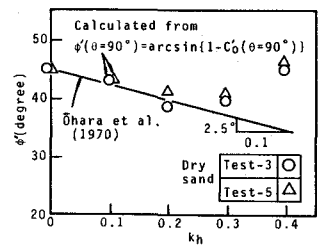


図-9  $\phi'$ の $k_n$ に伴う変化 (乾燥砂)

値よりも大きい。また、飽和砂でも乾燥砂と同様に $C_v$ 値は $n$ が小さい間にやや増加し、その後は液状化が生じるまではほぼ一定値となる。

図-12はTest-19の2つの測点での $C_v(\theta=0^\circ)$ および $C_v(\theta=90^\circ)$ の最大値の平均値を求め、それらと $n$ との関係を示す。同図には $C_v$ 値も示す。図から飽和砂においても乾燥砂と同様に $C_v(\theta=0^\circ)$ 、 $C_v'(\theta=0^\circ)$ の値はそれぞれ $C_v(\theta=90^\circ)$ 、 $C_v'(\theta=90^\circ)$ 値よりも大きいことがわかる。

5. 結論 本研究によって得られた結論は次のとおりである。

1) 乾燥砂の地震時土圧係数 $C_v$ 、 $C_v'$ はせん断応力の加えはじめからその繰返し回数( $n$ )=10-15回までの間に著しく増加するが、その後はほぼ一定値となる。また、 $C_v$ 、 $C_v'$ 値とも $k_n$ の増加に伴って大きくなる。

2) 乾燥砂の地震時主働土圧係数に相当するせん断方向の $C_v$  ( $\theta=0^\circ$ )、 $C_v'(\theta=0^\circ)$ 値はそれと直交する方向の地震時土圧係数 $C_v(\theta=90^\circ)$ 、 $C_v'(\theta=90^\circ)$ よりも大きい。

3) 繰返しせん断時の乾燥砂の水平応力の増加量 $\Delta\sigma'_r$ と $k_n$ の関係は $\Delta\sigma'_r(\theta=0^\circ)=53.9k_n$ 、 $\Delta\sigma'_r(\theta=90^\circ)=24.5k_n$ という式によって近似することができた。

4) 地震時の乾燥砂の内部摩擦角 $\phi'(\theta=90^\circ)$ は $k_n$ が0.1増加する毎に2.5度小さくなる。

5) 乾燥砂の結果と同様に、飽和砂においても液状化に至る過程では、 $C_v$ 、 $C_v'$ 値は $n$ が小さい間に増加し、その後はほぼ一定となる。また、乾燥砂の場合と同様に、 $C_v(\theta=0^\circ)$ 、 $C_v'(\theta=0^\circ)$ 値はそれぞれ $C_v(\theta=90^\circ)$ 、 $C_v'(\theta=90^\circ)$ 値よりも大きい。

6)  $C_v'(\theta=90^\circ)$ は地震時土圧係数に相当する。

最後に本実験を行うに当っては山口大学工学部松田 博助教授から有益な御助言を頂き、また、同学部学生松岡充宏ならびに斉藤光輝両君には実験、結果の整理を手伝って頂いた。ここに記してこれらの方々に厚く謝意を表します。

参考文献 1) 大原資生・山本哲朗：砂の液状化を生じる減衰振動波と定常振動波の相関性、土と基礎、Vol.36、No.12、pp.31-36、1988  
 2) 大原資生・前原 博・永田洋文：地震時主働土圧について、土と基礎、Vol.18、No.2、pp.27-35、1970 3) Youd, T.L. and Craven, T.N.: Lateral Stress in Sands during Cyclic Loading, Journal of Geotechnical Engineering Div., ASCE, Vol.101, No.GT2, pp.217-221, 1975 4) 大原資生・松田 博：飽和粘土の動的強度について、土木学会論文報告集、第274号、pp.69-78、1978

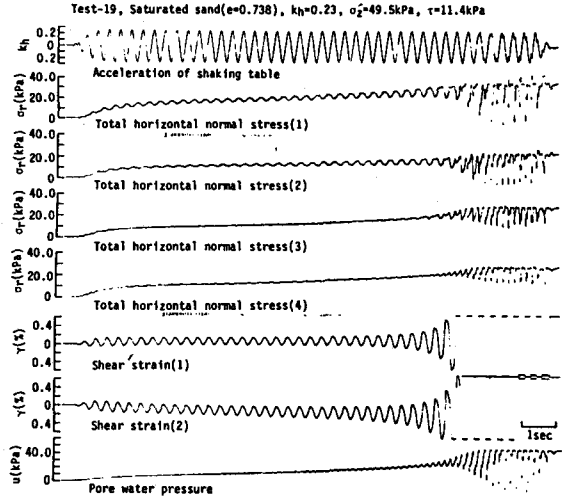


図-10 飽和砂の液状化実験記録の一例

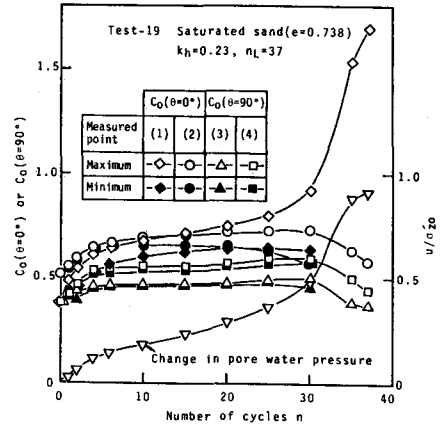


図-11  $C_v(\theta=0^\circ)$ 、 $C_v(\theta=90^\circ)$ の $n$ に伴う変化(飽和砂)

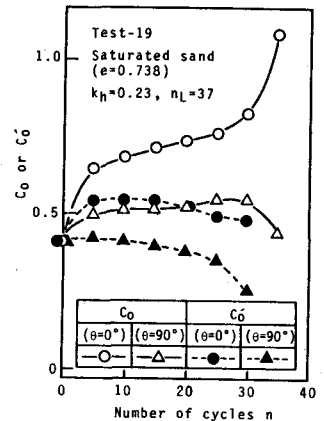


図-12  $C_v$ 、 $C_v'$ の $n$ に伴う変化(飽和砂)